

# Méthodes d'Analyse multifractale pour la classification de signaux et d'images

**Stéphane Jaffard**

Université Paris Est Créteil (France)

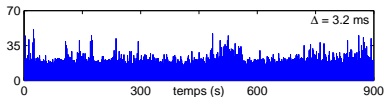
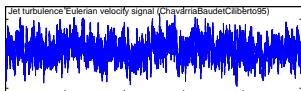
Collaboration avec:

**Patrice Abry** CNRS, Laboratoire de Physique, ENS Lyon

**Herwig Wendt** CNRS IRIT, Toulouse

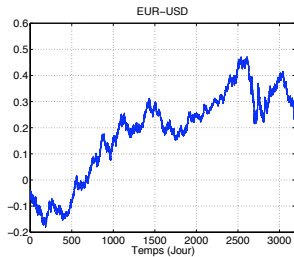
Séminaire de Mathématiques Appliquées  
Collège de France  
27 janvier 2012

# Signaux et images partout irréguliers

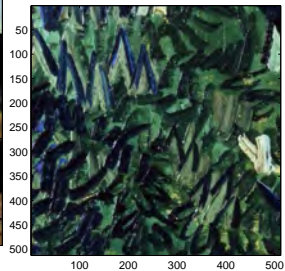
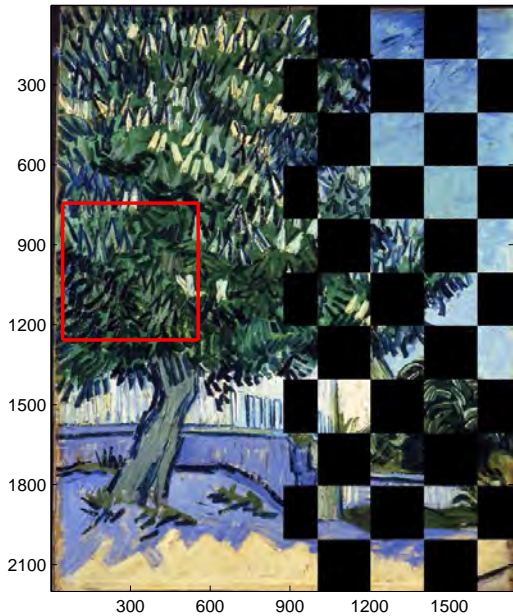


Turbulence pleinement développée

Trafic internet

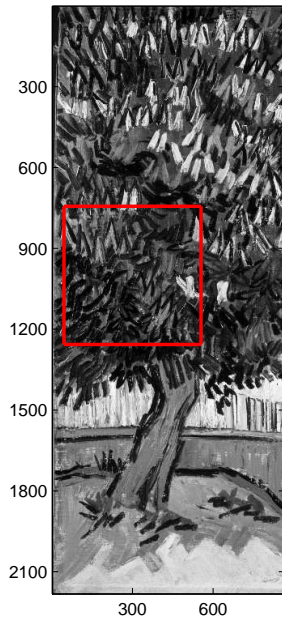


f752



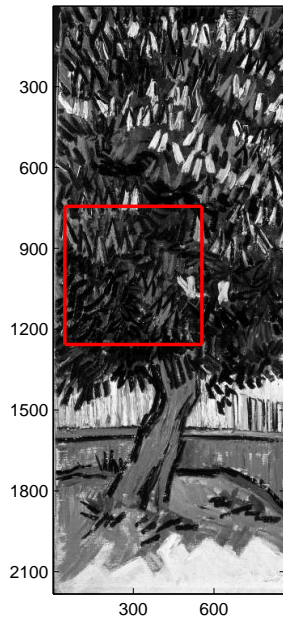
Niveaux de gris

f752



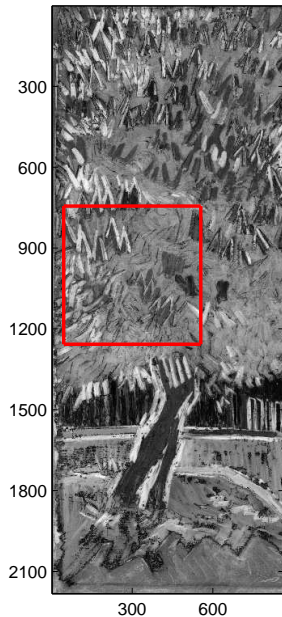
Canal rouge

f752

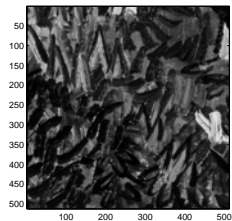


Canal Saturation

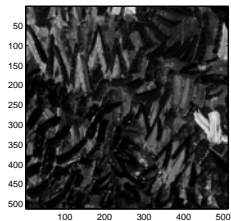
f752



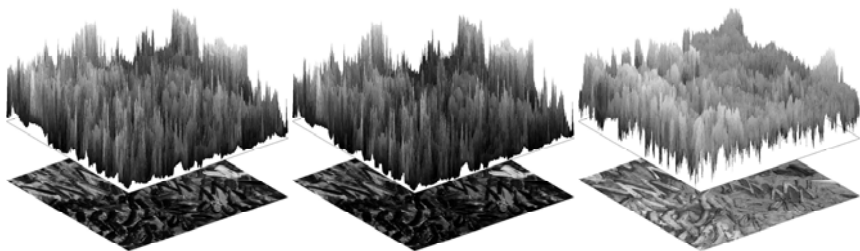
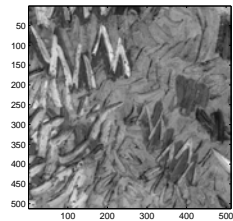
Niveaux de gris



Canal rouge



Canal Saturation



La nature, les sciences et les arts fournissent de nombreux exemples de fonctions “rugueuses”

# La fonction d'échelle $\zeta_f(p)$ (N. Kolmogorov 1941)

## Définition heuristique

$$\int |f(x + \delta) - f(x)|^p dx \sim |\delta|^{\zeta_f(p)} \quad \text{quand } \delta \rightarrow 0$$

# La fonction d'échelle $\zeta_f(p)$ (N. Kolmogorov 1941)

Définition heuristique

$$\int |f(x + \delta) - f(x)|^p dx \sim |\delta|^{\zeta_f(p)} \quad \text{quand } \delta \rightarrow 0$$

Définition utilisée en traitement du signal

$$\int |f(x + \delta) - f(x)|^p dx = |\delta|^{\zeta_f(p) + o(1)} \quad \text{quand } \delta \rightarrow 0$$

Autosimilarité en moyenne dans la limite des petites échelles

# La fonction d'échelle $\zeta_f(p)$ (N. Kolmogorov 1941)

## Définition heuristique

$$\int |f(x + \delta) - f(x)|^p dx \sim |\delta|^{\zeta_f(p)} \quad \text{quand } \delta \rightarrow 0$$

## Définition utilisée en traitement du signal

$$\int |f(x + \delta) - f(x)|^p dx = |\delta|^{\zeta_f(p) + o(1)} \quad \text{quand } \delta \rightarrow 0$$

Autosimilarité en moyenne dans la limite des petites échelles

## Définition mathématique générale

$$\zeta_f(p) = \liminf_{\delta \rightarrow 0} \frac{\log \left( \int |f(x + \delta) - f(x)|^p dx \right)}{\log(|\delta|)}$$



# Fonction d'échelle du FBM

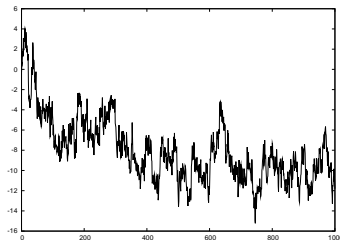
$B_H(x)$  est l'unique processus gaussien centré tel que

$$\mathbb{E}(|B_H(x) - B_H(y)|^2) = |x - y|^{2H}$$

Donc

$$|B_H(x + \delta) - B_H(x)| \sim |\delta|^H$$

$$\int |B_H(x + \delta) - B_H(x)|^p dx \sim |\delta|^{Hp}$$



FBM d'exposant  $H = 1/3$

# Fonction d'échelle du FBM

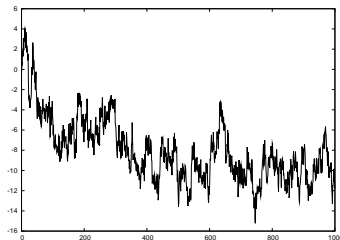
$B_H(x)$  est l'unique processus gaussien centré tel que

$$\mathbb{E}(|B_H(x) - B_H(y)|^2) = |x - y|^{2H}$$

Donc

$$|B_H(x + \delta) - B_H(x)| \sim |\delta|^H$$

$$\int |B_H(x + \delta) - B_H(x)|^p dx \sim |\delta|^{Hp}$$



FBM d'exposant  $H = 1/3$

Fonction d'échelle du FBM :  $\forall p > 0, \zeta_f(p) = Hp$

# Fonction d'échelle du FBM

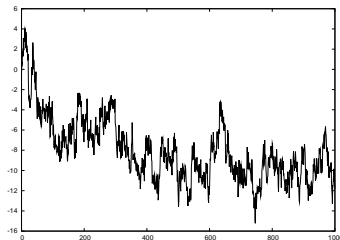
$B_H(x)$  est l'unique processus gaussien centré tel que

$$\mathbb{E}(|B_H(x) - B_H(y)|^2) = |x - y|^{2H}$$

Donc

$$|B_H(x + \delta) - B_H(x)| \sim |\delta|^H$$

$$\int |B_H(x + \delta) - B_H(x)|^p dx \sim |\delta|^{Hp}$$



FBM d'exposant  $H = 1/3$

Fonction d'échelle du FBM :  $\forall p > 0, \zeta_f(p) = Hp$

La fonction d'échelle de la turbulence est strictement concave

# Fonction d'échelle et espaces fonctionnels

## Espaces de Lipschitz

Soient  $s \in (0, 1)$ , et  $p \in [1, \infty[$

$f \in Lip(s, L^p)$  si  $f \in L^p$  et si  $\exists C > 0$  tels que

$$\forall \delta > 0, \quad \int |f(x + \delta) - f(x)|^p dx \leq C |\delta|^{sp}$$

# Fonction d'échelle et espaces fonctionnels

## Espaces de Lipschitz

Soient  $s \in (0, 1)$ , et  $p \in [1, \infty[$

$f \in Lip(s, L^p)$  si  $f \in L^p$  et si  $\exists C > 0$  tels que

$$\forall \delta > 0, \quad \int |f(x + \delta) - f(x)|^p dx \leq C |\delta|^{sp}$$

Si  $\zeta_f(p) < p$ ,

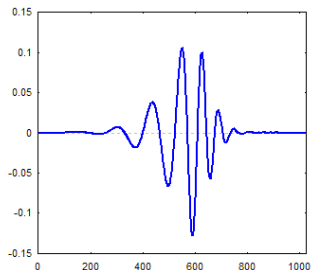
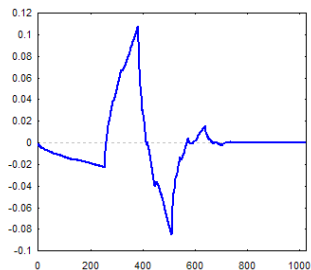
$$\zeta_f(p) = \sup\{s : f \in Lip(s/p, L^p)\}$$

# Bases d'ondelettes sur $\mathbb{R}$

Une **base d'ondelettes** sur  $\mathbb{R}$  est engendrée par une fonction  $\psi$  **régulières et bien localisées** telle que les

$$2^{j/2}\psi(2^jx - k), \quad j \in \mathbb{Z}, \quad k \in \mathbb{Z}$$

forment une base orthonormée de  $L^2(\mathbb{R})$



Ondelettes de Daubechies

# Bases d'ondelettes en dimension 2

Une **base d'ondelettes** sur  $\mathbb{R}^2$  est de la forme

$$2^j \psi^i(2^j \mathbf{x} - \mathbf{k}), \quad i = 1, 2, 3, j \in \mathbb{Z}, \mathbf{k} \in \mathbb{Z}^d$$

où les  $\psi^i$  sont trois fonctions régulières et bien localisées

$$\psi^1(x_1, x_2) = \theta(x_1)\varphi(x_2)$$

$$\psi^2(x_1, x_2) = \varphi(x_1)\theta(x_2)$$

$$\psi^3(x_1, x_2) = \theta(x_1)\theta(x_2)$$

# Bases d'ondelettes en dimension 2

Une **base d'ondelettes** sur  $\mathbb{R}^2$  est de la forme

$$2^j \psi^i(2^j x - k), \quad i = 1, 2, 3, j \in \mathbb{Z}, k \in \mathbb{Z}^d$$

où les  $\psi^i$  sont trois fonctions régulières et bien localisées

$$\psi^1(x_1, x_2) = \theta(x_1)\varphi(x_2)$$

$$\psi^2(x_1, x_2) = \varphi(x_1)\theta(x_2)$$

$$\psi^3(x_1, x_2) = \theta(x_1)\theta(x_2)$$

**Moments nuls**

$$\int \psi(x_1, x_2) x_1^{\alpha_1} x_2^{\alpha_2} dx_1 dx_2 = 0$$

si  $\alpha_1 + \alpha_2 \leq N$



# Notations pour les ondelettes sur $\mathbb{R}^d$

Cubes dyadiques :

$$\text{Si } k = (k_1, \dots, k_d), \quad \lambda = \left[ \frac{k_1}{2^j}, \frac{k_1 + 1}{2^j} \right] \times \dots \times \left[ \frac{k_d}{2^j}, \frac{k_d + 1}{2^j} \right]$$

# Notations pour les ondelettes sur $\mathbb{R}^d$

Cubes dyadiques :

$$\text{Si } k = (k_1, \dots, k_d), \quad \lambda = \left[ \frac{k_1}{2^j}, \frac{k_1 + 1}{2^j} \right] \times \dots \times \left[ \frac{k_d}{2^j}, \frac{k_d + 1}{2^j} \right]$$

Ondelettes :

$$\psi_\lambda(x) = \psi^j(2^j x - k)$$

# Notations pour les ondelettes sur $\mathbb{R}^d$

Cubes dyadiques :

$$\text{Si } k = (k_1, \dots, k_d), \quad \lambda = \left[ \frac{k_1}{2^j}, \frac{k_1 + 1}{2^j} \right] \times \dots \times \left[ \frac{k_d}{2^j}, \frac{k_d + 1}{2^j} \right]$$

Ondelettes :

$$\psi_\lambda(x) = \psi^i(2^j x - k)$$

Coefficients d'ondelette :

$$c_\lambda = 2^{dj} \int f(x) \psi^i(2^j x - k) dx$$

# Notations pour les ondelettes sur $\mathbb{R}^d$

Cubes dyadiques :

$$\text{Si } k = (k_1, \dots, k_d), \quad \lambda = \left[ \frac{k_1}{2^j}, \frac{k_1 + 1}{2^j} \right] \times \dots \times \left[ \frac{k_d}{2^j}, \frac{k_d + 1}{2^j} \right]$$

Ondelettes :

$$\psi_\lambda(x) = \psi^i(2^j x - k)$$

Coefficients d'ondelette :

$$c_\lambda = 2^{dj} \int f(x) \psi^i(2^j x - k) dx$$

Cubes dyadiques à l'échelle  $j$  :

$$\Lambda_j = \{\lambda : |\lambda| = 2^{-j}\}$$

# Notations pour les ondelettes sur $\mathbb{R}^d$

Cubes dyadiques :

$$\text{Si } k = (k_1, \dots, k_d), \quad \lambda = \left[ \frac{k_1}{2^j}, \frac{k_1 + 1}{2^j} \right] \times \dots \times \left[ \frac{k_d}{2^j}, \frac{k_d + 1}{2^j} \right]$$

Ondelettes :

$$\psi_\lambda(x) = \psi^j(2^j x - k)$$

Coefficients d'ondelette :

$$c_\lambda = 2^{dj} \int f(x) \psi^j(2^j x - k) dx$$

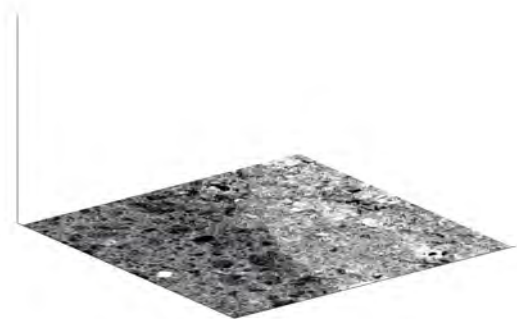
Cubes dyadiques à l'échelle  $j$  :

$$\Lambda_j = \{\lambda : |\lambda| = 2^{-j}\}$$

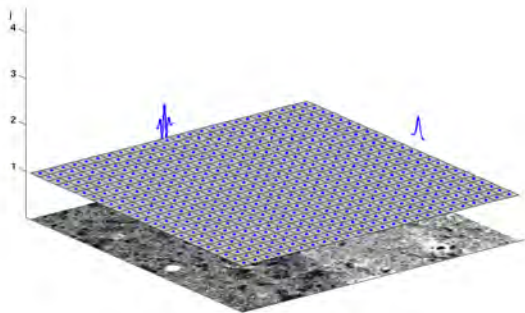
Décomposition en ondelettes de  $f$  :

$$f(x) = \sum_j \sum_{\lambda \in \Lambda_j} c_\lambda \psi_\lambda(x)$$

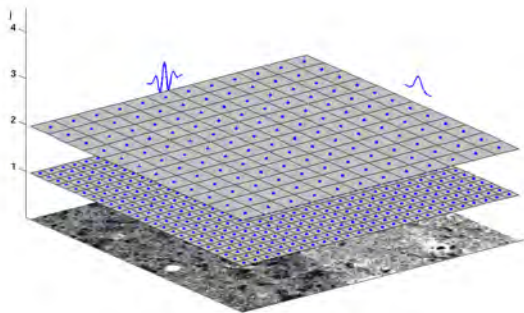
# Calcul de coefficients d'ondelette 2D



# Calcul de coefficients d'ondelette 2D

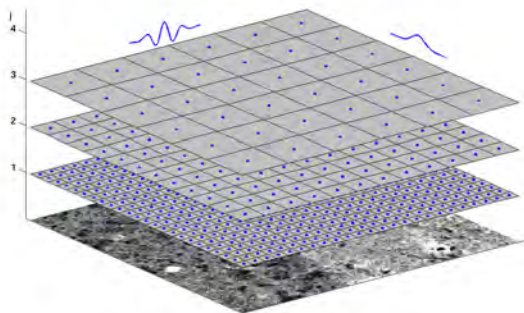


# Calcul de coefficients d'ondelette 2D

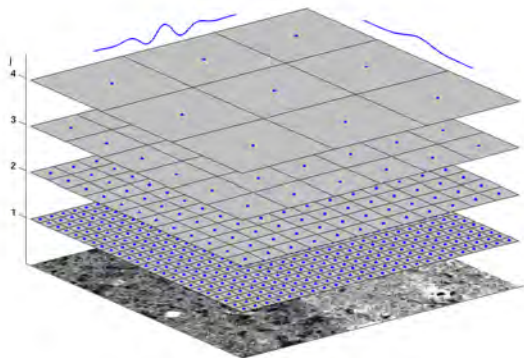




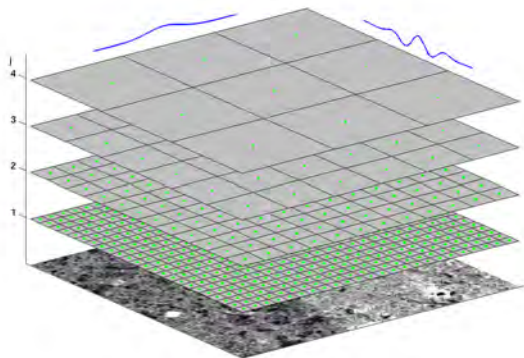
# Calcul de coefficients d'ondelette 2D



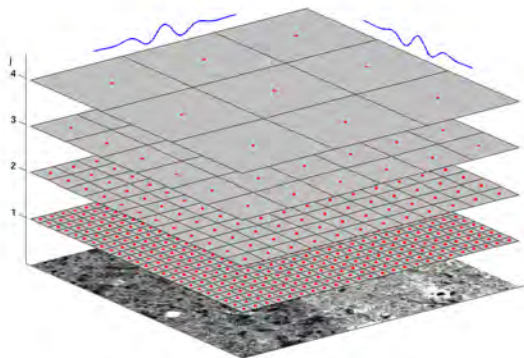
# Calcul de coefficients d'ondelette 2D



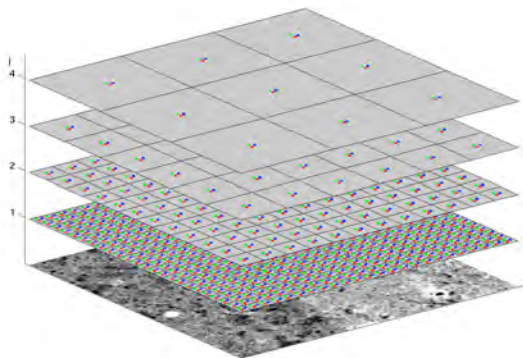
# Calcul de coefficients d'ondelette 2D



# Calcul de coefficients d'ondelette 2D



# Calcul de coefficients d'ondelette 2D



# Autosimilarité : Cas déterministe

Fonction de Weierstrass-Mandelbrot

$$W_\alpha(x) = \sum_{-\infty}^{+\infty} 2^{-\alpha j} \sin(2^j x) \quad 0 < \alpha < 1$$

# Autosimilarité : Cas déterministe

Fonction de Weierstrass-Mandelbrot

$$W_\alpha(x) = \sum_{-\infty}^{+\infty} 2^{-\alpha j} \sin(2^j x) \quad 0 < \alpha < 1$$

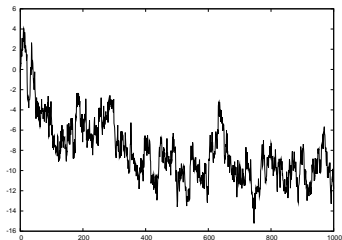
Autosimilarité exacte :

$$W_\alpha(2x) = \sum_{-\infty}^{+\infty} 2^{-\alpha j} \sin(2^{j+1} x) = \sum_{-\infty}^{+\infty} 2^{-\alpha(j-1)} \sin(2^j x) = 2^\alpha W_\alpha(x)$$

$$C_{j,k} = \int W_\alpha(x) 2^j \psi(2^j x - k) dx = 2^{-\alpha} C_{j-1,k}$$

# Autosimilarité statistique

## Mouvement Brownien Fractionnaire



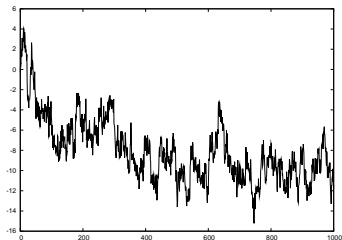
FBM d'exposant

$$H = 1/3$$



# Autosimilarité statistique

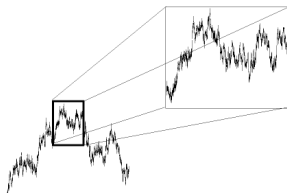
## Mouvement Brownien Fractionnaire



FBM d'exposant

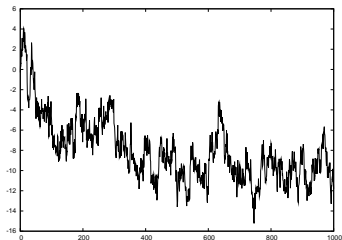
$$H = 1/3$$

$$B_H(ax) \stackrel{\mathcal{L}}{=} a^H B_H(x)$$



# Autosimilarité statistique

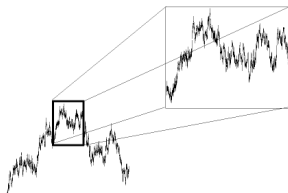
## Mouvement Brownien Fractionnaire



FBM d'exposant

$$H = 1/3$$

$$B_H(ax) \stackrel{\mathcal{L}}{=} a^H B_H(x)$$



Les  $2^{Hj} C_{j,k}$  ont la même loi

# Espaces fonctionnels et ondelettes

Soit  $p \geq 1$  et  $s \geq 0$ ;  $f \in Lip(s, L^p)$  si  $f \in L^p$  et si  $\exists C > 0$  tel que

$$\forall \delta > 0, \quad \int |f(x + \delta) - f(x)|^p dx \leq C |\delta|^{sp}$$

# Espaces fonctionnels et ondelettes

Soit  $p \geq 1$  et  $s \geq 0$ ;  $f \in Lip(s, L^p)$  si  $f \in L^p$  et si  $\exists C > 0$  tel que

$$\forall \delta > 0, \quad \int |f(x + \delta) - f(x)|^p dx \leq C |\delta|^{sp}$$

## Espaces de Besov

$$\forall p > 0 \text{ et } s \in \mathbb{R}, \quad f \in B_p^s \iff \forall j, \quad 2^{-dj} \sum_k |c_{j,k}|^p \leq C 2^{-spj}$$

# Espaces fonctionnels et ondelettes

Soit  $p \geq 1$  et  $s \geq 0$ ;  $f \in Lip(s, L^p)$  si  $f \in L^p$  et si  $\exists C > 0$  tel que

$$\forall \delta > 0, \quad \int |f(x + \delta) - f(x)|^p dx \leq C |\delta|^{sp}$$

## Espaces de Besov

$$\forall p > 0 \text{ et } s \in \mathbb{R}, \quad f \in B_p^s \iff \forall j, \quad 2^{-dj} \sum_k |c_{j,k}|^p \leq C 2^{-spj}$$

$$B_p^{s+\varepsilon} \hookrightarrow Lip(s, L^p) \hookrightarrow B_p^{s-\varepsilon}$$

# Espaces fonctionnels et ondelettes

Soit  $p \geq 1$  et  $s \geq 0$ ;  $f \in Lip(s, L^p)$  si  $f \in L^p$  et si  $\exists C > 0$  tel que

$$\forall \delta > 0, \quad \int |f(x + \delta) - f(x)|^p dx \leq C |\delta|^{sp}$$

## Espaces de Besov

$$\forall p > 0 \text{ et } s \in \mathbb{R}, \quad f \in B_p^s \iff \forall j, \quad 2^{-dj} \sum_k |c_{j,k}|^p \leq C 2^{-spj}$$

$$B_p^{s+\varepsilon} \hookrightarrow Lip(s, L^p) \hookrightarrow B_p^{s-\varepsilon}$$

$$\zeta_f(p) = \sup \{s : f \in Lip(s/p, L^p)\}$$

$$= \sup \left\{ s : f \in B_p^{s/p} \right\}$$

# La fonction d'échelle ondelettes

Si

$$S_{p,j} = 2^{-dj} \sum_{\lambda \in \Lambda_j} |c_\lambda|^p,$$

La **fonction d'échelle ondelettes** est

$$\forall p > 0 \quad \zeta_f(p) = \liminf_{j \rightarrow +\infty} \frac{\log(S_{p,j})}{\log(2^{-j})}.$$

# La fonction d'échelle ondelettes

Si

$$S_{p,j} = 2^{-dj} \sum_{\lambda \in \Lambda_j} |c_\lambda|^p,$$

La **fonction d'échelle ondelettes** est

$$\forall p > 0 \quad \zeta_f(p) = \liminf_{j \rightarrow +\infty} \frac{\log(S_{p,j})}{\log(2^{-j})}.$$

Elle coïncide avec la fonction d'échelle de Kolmogorov si  $p \geq 1$



# La fonction d'échelle ondelettes

Si

$$S_{p,j} = 2^{-dj} \sum_{\lambda \in \Lambda_j} |c_\lambda|^p,$$

La **fonction d'échelle ondelettes** est

$$\forall p > 0 \quad \zeta_f(p) = \liminf_{j \rightarrow +\infty} \frac{\log(S_{p,j})}{\log(2^{-j})}.$$

Elle coïncide avec la fonction d'échelle de Kolmogorov si  $p \geq 1$

**Elle est définie par une régression log-log à travers les échelles**

# Exposant de Hölder uniforme

Espaces  $C^\alpha$  : Soit  $\alpha \in (0, 1)$ ;  $f \in C^\alpha(\mathbb{R}^d)$  si

$$\exists C, \forall x, y : |f(x) - f(y)| \leq |x - y|^\alpha$$

# Exposant de Hölder uniforme

Espaces  $C^\alpha$  : Soit  $\alpha \in (0, 1)$  ;  $f \in C^\alpha(\mathbb{R}^d)$  si

$$\exists C, \forall x, y : |f(x) - f(y)| \leq |x - y|^\alpha$$

$$\forall \alpha \in \mathbb{R}, \quad C^\alpha = B_\infty^\alpha$$

# Exposant de Hölder uniforme

Espaces  $C^\alpha$  : Soit  $\alpha \in (0, 1)$  ;  $f \in C^\alpha(\mathbb{R}^d)$  si

$$\exists C, \forall x, y : |f(x) - f(y)| \leq |x - y|^\alpha$$

$$\forall \alpha \in \mathbb{R}, \quad C^\alpha = B_\infty^\alpha$$

L' exposant de Hölder uniforme de  $f$  est

$$H_f^{min} = \sup \left\{ \alpha : f \in C^\alpha(\mathbb{R}^d) \right\}$$

# Exposant de Hölder uniforme

Espaces  $C^\alpha$  : Soit  $\alpha \in (0, 1)$ ;  $f \in C^\alpha(\mathbb{R}^d)$  si

$$\exists C, \forall x, y : |f(x) - f(y)| \leq |x - y|^\alpha$$

$$\forall \alpha \in \mathbb{R}, \quad C^\alpha = B_\infty^\alpha$$

L' exposant de Hölder uniforme de  $f$  est

$$H_f^{min} = \sup \left\{ \alpha : f \in C^\alpha(\mathbb{R}^d) \right\}$$

Calcul numérique :

$$\text{Soit } \omega_j = \sup_{\lambda \in \Lambda_j} |c_\lambda| \quad \text{alors } H_f^{min} = \liminf_{j \rightarrow +\infty} \frac{\log(\omega_j)}{\log(2^{-j})}$$

## $p$ -variation ( $d = 1$ )

On note  $f_a(x) = f(x - a)$ . La fonction  $f$  a une  $p$ -variation finie si

$$\exists C, \forall a, h \in ]0, 1], \quad \sum_n |f_a((n+1)h) - f_a(nh)|^p \leq C$$

## $p$ -variation ( $d = 1$ )

On note  $f_a(x) = f(x - a)$ . La fonction  $f$  a une  $p$ -variation finie si

$$\exists C, \forall a, h \in ]0, 1], \quad \sum_n |f_a((n+1)h) - f_a(nh)|^p \leq C$$

**Définition** : Soient  $p \geq 1$  et  $s \geq 0$ ;  $f$  appartient à  $\mathcal{V}_p^s$  si

$$\exists C \forall a, h \in ]0, 1], \quad h \sum_n |f_a((n+1)h) - f_a(nh)|^p \leq C|h|^{sp}$$

## $p$ -variation ( $d = 1$ )

On note  $f_a(x) = f(x - a)$ . La fonction  $f$  a une  $p$ -variation finie si

$$\exists C, \forall a, h \in ]0, 1], \quad \sum_n |f_a((n+1)h) - f_a(nh)|^p \leq C$$

**Définition** : Soient  $p \geq 1$  et  $s \geq 0$ ;  $f$  appartient à  $\mathcal{V}_p^s$  si

$$\exists C \forall a, h \in ]0, 1], \quad h \sum_n |f_a((n+1)h) - f_a(nh)|^p \leq C|h|^{sp}$$

**Proposition** : Si  $f$  appartient à  $\mathcal{V}_p^s$ , alors :

- ▶  $f$  est localement bornée
- ▶  $f \in Lip(s, L^p)$



# Utilisation de $\zeta_f(p)$ et $H_f^{min}$

## Validation d'hypothèses fonctionnelles

$$\zeta_f(p) = \sup \left\{ s : p \in B_p^{s/p, \infty} \right\} \quad (p > 0)$$

# Utilisation de $\zeta_f(p)$ et $H_f^{min}$

## Validation d'hypothèses fonctionnelles

$$\zeta_f(p) = \sup \left\{ s : p \in B_p^{s/p, \infty} \right\} \quad (p > 0)$$

- ▶ Si  $\zeta_f(1) > 1$ ,  $f \in BV$
- ▶ Si  $\zeta_f(2) > 0$ ,  $f \in L^2$
- ▶ Si  $H_f^{min} > 0$ ,  $f$  est continue
- ▶ Si  $H_f^{min} < 0$ ,  $f$  n'est pas localement bornée
- ▶ Si  $H_f^{min} < 0$  ou si  $\zeta_f(p) < 1$ , alors la  $p$ -variation de  $f$  n'est pas finie
- ▶ Si  $\zeta_f(p) > 1$ , alors la  $p$ -variation de  $f$  est finie

# Utilisation de $\zeta_f(p)$ et $H_f^{min}$

## Validation d'hypothèses fonctionnelles

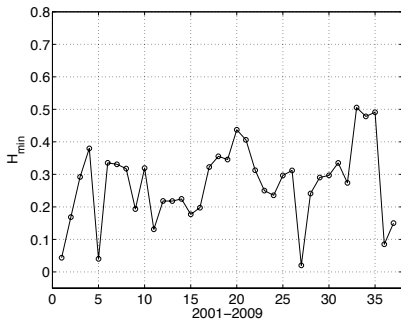
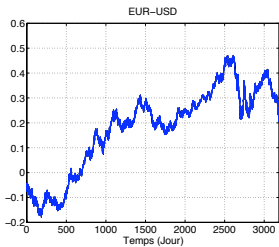
$$\zeta_f(p) = \sup \left\{ s : p \in B_p^{s/p, \infty} \right\} \quad (p > 0)$$

- ▶ Si  $\zeta_f(1) > 1$ ,  $f \in BV$
- ▶ Si  $\zeta_f(2) > 0$ ,  $f \in L^2$
- ▶ Si  $H_f^{min} > 0$ ,  $f$  est continue
- ▶ Si  $H_f^{min} < 0$ ,  $f$  n'est pas localement bornée
- ▶ Si  $H_f^{min} < 0$  ou si  $\zeta_f(p) < 1$ , alors la  $p$ -variation de  $f$  n'est pas finie
- ▶ Si  $\zeta_f(p) > 1$ , alors la  $p$ -variation de  $f$  est finie

## Motivations :

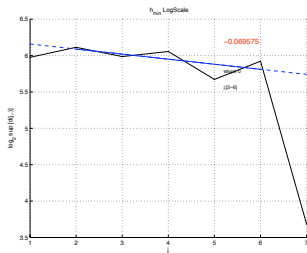
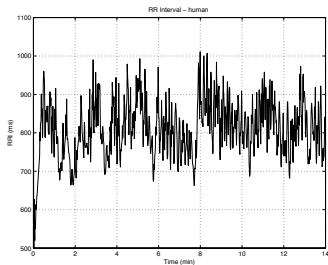
- ▶ Y. Gousseau, J.-M. Morel : *Are natural images of bounded variation ?* (2001)
- ▶ Modèles à sauts et à variation quadratique finie en finance

# Exposant de Hölder uniforme



# Classification basée sur l'exposant de Hölder uniforme

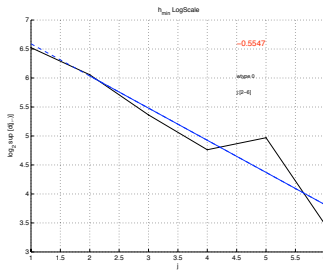
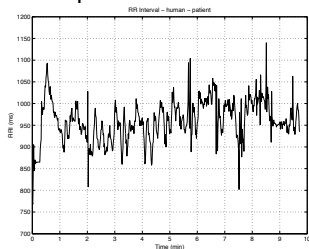
Rythme cardiaque : Patient en bonne santé



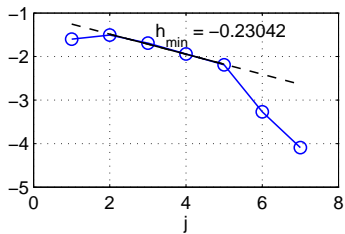
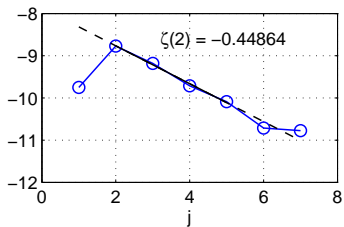
$$H_f^{\min} = -0.06$$

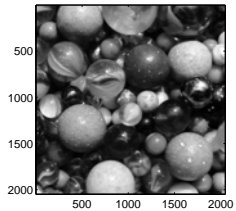
# Classification basée sur l'exposant de Hölder uniforme

## Anomalie de rythme cardiaque

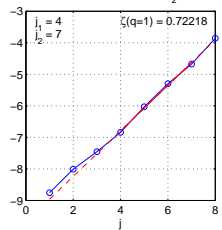


$$H_f^{\min} = -0.55$$

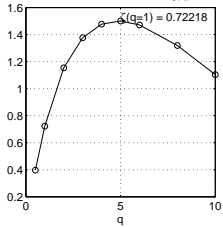




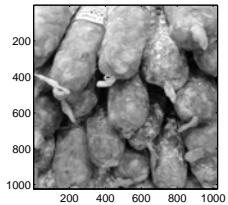
DWT fonction de structure  $\log_2 S(j, q=1)$



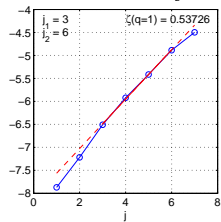
DWT fonction d'echelle  $\zeta(q)$



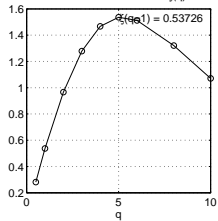




DWT fonction de structure  $\log_2 S(j, q=1)$



DWT fonction d'echelle  $\zeta(q)$

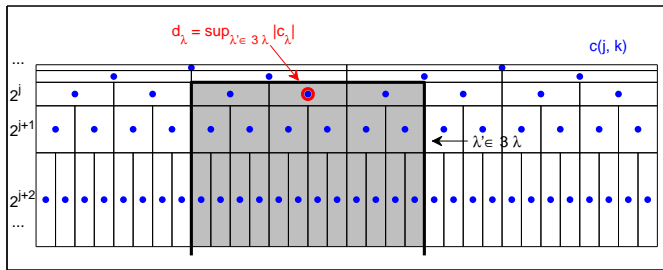


# Coefficients dominants

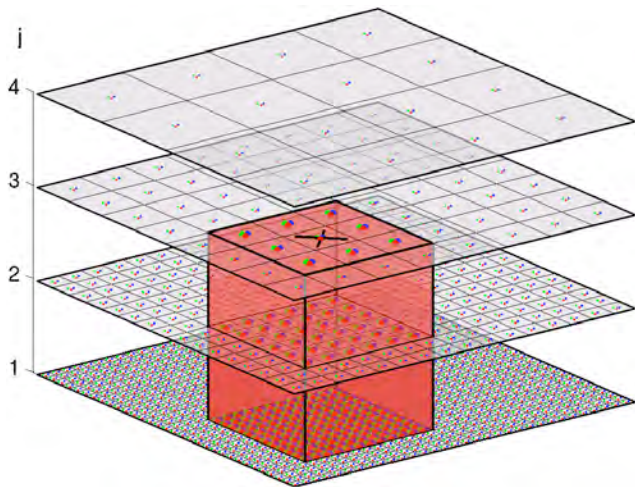
Si  $\lambda$  est un cube dyadique,  $3\lambda$  est le cube de même centre et trois fois plus large.

Soit  $f$  une fonction bornée ; les coefficients dominants de  $f$  sont les quantités

$$d_\lambda = \sup_{\lambda' \subset 3\lambda} |c_{\lambda'}|$$



# Calcul de coefficients dominants 2D



Les coefficients dominants permettent d'estimer l'exposant de Hölder ponctuel

# Spectre de Legendre

$\Lambda_j$  désigne l'ensemble des cubes dyadiques d'échelle  $2^{-j}$ .

$$T_{p,j} = 2^{-dj} \sum_{\lambda \in \Lambda_j} |d_\lambda|^p \sim 2^{-\eta_f(p)j}$$

# Spectre de Legendre

$\Lambda_j$  désigne l'ensemble des cubes dyadiques d'échelle  $2^{-j}$ .

$$T_{p,j} = 2^{-dj} \sum_{\lambda \in \Lambda_j} |d_\lambda|^p \sim 2^{-\eta_f(p)j}$$

**Fonction d'échelle dominante** :  $\forall p \in \mathbb{R}, \eta_f(p) = \liminf_{j \rightarrow +\infty} \frac{\log(T_{p,j})}{\log(2^{-j})}$

# Spectre de Legendre

$\Lambda_j$  désigne l'ensemble des cubes dyadiques d'échelle  $2^{-j}$ .

$$T_{p,j} = 2^{-dj} \sum_{\lambda \in \Lambda_j} |d_\lambda|^p \sim 2^{-\eta_f(p)j}$$

**Fonction d'échelle dominante** :  $\forall p \in \mathbb{R}, \eta_f(p) = \liminf_{j \rightarrow +\infty} \frac{\log(T_{p,j})}{\log(2^{-j})}$

## Spectre de Legendre

$$L_f(H) = \inf_{p \in \mathbb{R}} (d + Hp - \eta_f(p))$$

**Théorème** : Soit  $D_f(H)$  la dimension de Hausdorff de l'ensemble des points où l'exposant de Hölder de  $f$  vaut  $H$ . Si  $f \in C^\varepsilon(\mathbb{R}^d)$ , alors

$$D_f(H) \leq L_f(H)$$

# Régressions log-log

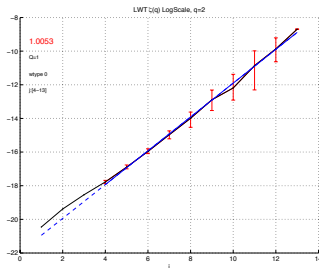
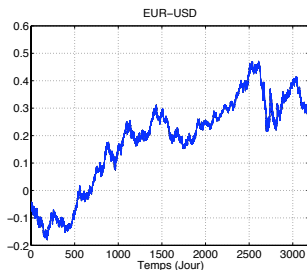
Comportements en loi de puissance :

Condition préliminaire pour le calcul de fonctions d'échelle

# Régressions log-log

## Comportements en loi de puissance :

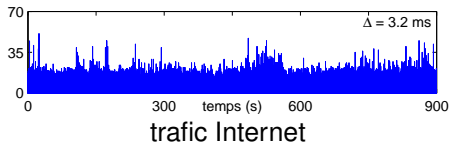
Condition préliminaire pour le calcul de fonctions d'échelle



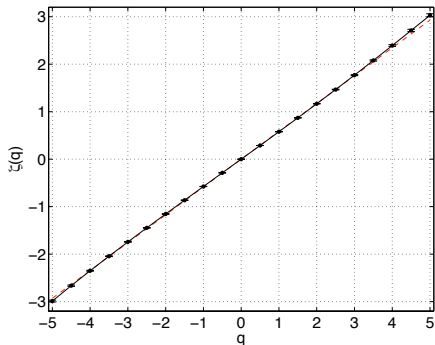
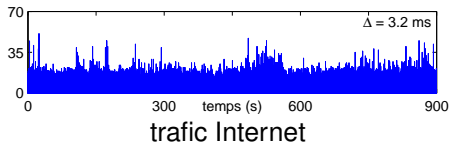
données fournies par Vivienne Investissement



# Monohölderianité vs. Multifractalité



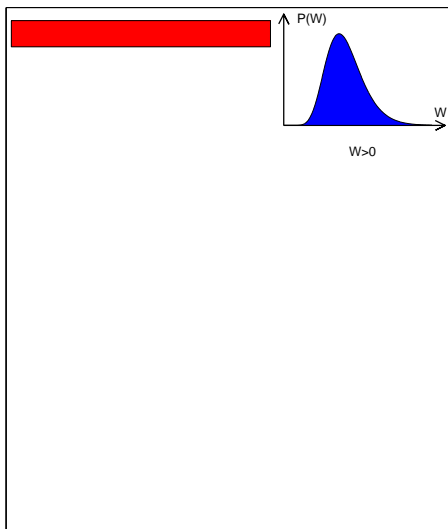
# Monohölderianité vs. Multifractalité



Fonction d'échelle dominante

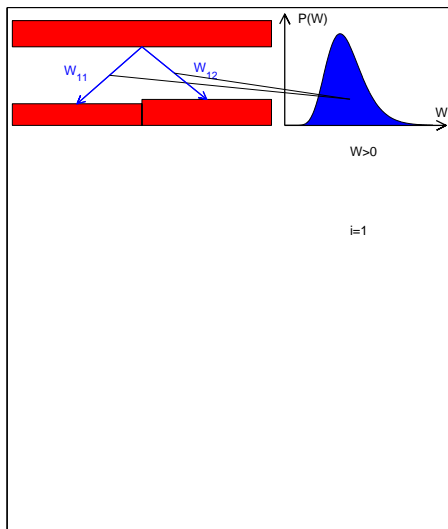
# Réfutation de modèles

## Cascade multiplicative



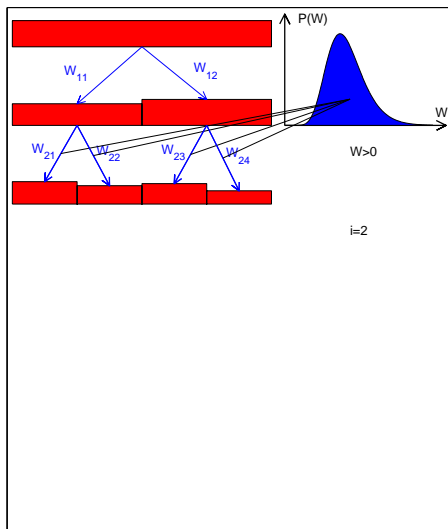
# Réfutation de modèles

## Cascade multiplicative



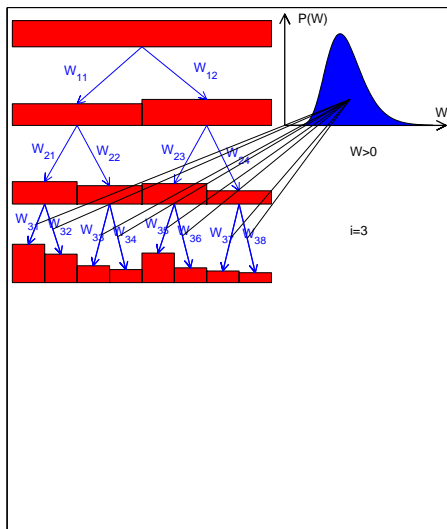
# Réfutation de modèles

## Cascade multiplicative



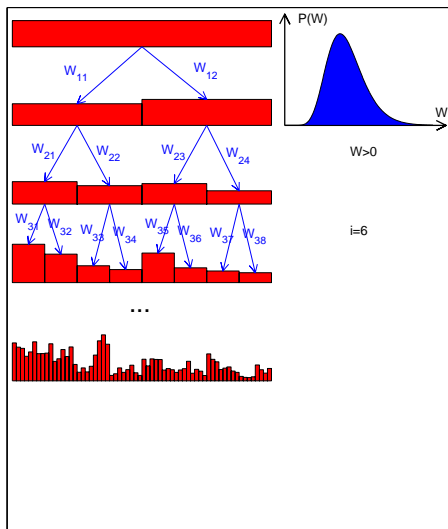
# Réfutation de modèles

## Cascade multiplicative



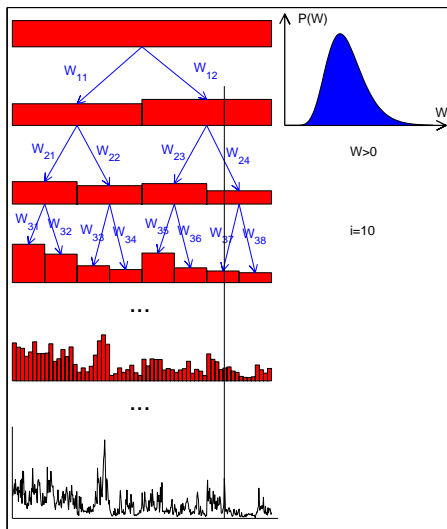
# Réfutation de modèles

## Cascade multiplicative



# Réfutation de modèles

## Cascade multiplicative





# Processus construits à partir de cascades

Une cascade est une mesure : Elle n'est pas appropriée pour modéliser des signaux oscillants

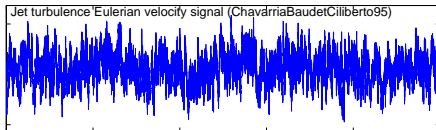
Si  $F(t)$  est la fonction de répartition de la mesure, on peut considérer le **FBM en temps multifractal**

$$X(t) = B_H(F(t))$$

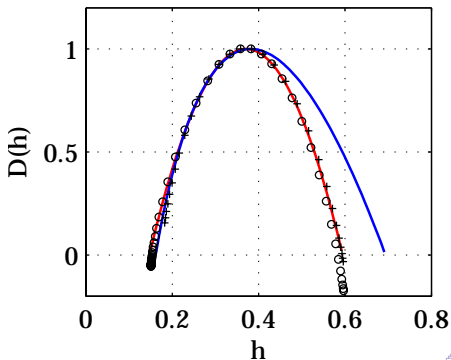
proposé par Calvet, Fisher et Mandelbrot en modélisation financière

# Réfutation de modèles

(travail en collaboration avec Bruno Lashermes)



modèle de cascade log-normal **vs.** log-Poisson



## $p$ -oscillation

Soit  $f$  une fonction localement bornée. Si  $A$  est un intervalle, l'oscillation du premier ordre de  $f$  sur  $A$  est

$$Os_f(A) = \sup_A f - \inf_A f$$

## $p$ -oscillation

Soit  $f$  une fonction localement bornée. Si  $A$  est un intervalle, l'oscillation du premier ordre de  $f$  sur  $A$  est

$$Os_f(A) = \sup_A f - \inf_A f$$

**Définition** : Soit  $p \geq 1$  ;  $f$  appartient à  $V_p^s$  si

$$\exists C \quad \forall j \quad 2^{-dj} \sum_{\lambda \in \Lambda_j} (Os_f(3\lambda))^p \leq C 2^{-spj}$$

**Définition** :  $f$  a une  $p$ -oscillation finie si

$$\exists C \quad \forall j \geq 0 \quad \sum_{\lambda \in \Lambda_j} (Os_f(3\lambda))^p \leq C$$

Donc, si  $f \in V_p^{d/p}$ , alors  $f$  a une  $p$ -oscillation finie

# $p$ -oscillation

Espaces  $\mathcal{O}_p^s$  : Soit  $f$  localement bornée,

$$f \in \mathcal{O}_p^s(\mathbb{R}^d) \quad \text{si} \quad 2^{-dj} \sum_{\lambda \in \Lambda_j} |d_\lambda|^p \leq C 2^{-spj}$$

**Theorem** : Soit  $p \geq 1$  ; alors

$$\forall \varepsilon > 0 \quad C^\varepsilon \cap V_p^s \hookrightarrow \mathcal{O}_p^s \hookrightarrow V_p^{s+\varepsilon}$$

# $p$ -oscillation

Espaces  $\mathcal{O}_p^s$  : Soit  $f$  localement bornée,

$$f \in \mathcal{O}_p^s(\mathbb{R}^d) \quad \text{si} \quad 2^{-dj} \sum_{\lambda \in \Lambda_j} |d_\lambda|^p \leq C 2^{-spj}$$

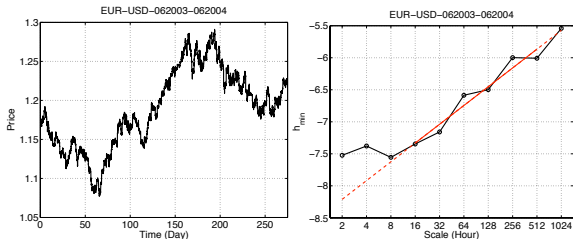
**Theorem** : Soit  $p \geq 1$  ; alors

$$\forall \varepsilon > 0 \quad C^\varepsilon \cap V_p^s \hookrightarrow \mathcal{O}_p^s \hookrightarrow V_p^{s+\varepsilon}$$

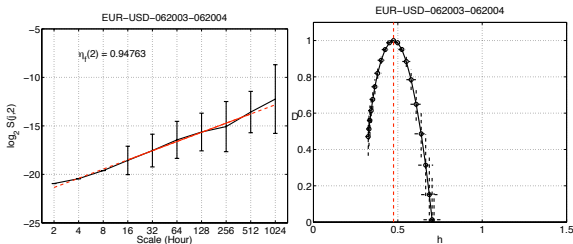
**Corollaire** : Soit  $f \in C^\varepsilon$  pour un  $\varepsilon > 0$ . Alors

- ▶ Si  $\eta_f(p) > 1$ ,  $f$  a une  $p$ -oscillation finie
- ▶ Si  $\eta_f(p) < 1$ , la  $p$ -oscillation de  $f$  n'est pas bornée

# Taux de change USD-Euro : Juin 2003-juin 2004



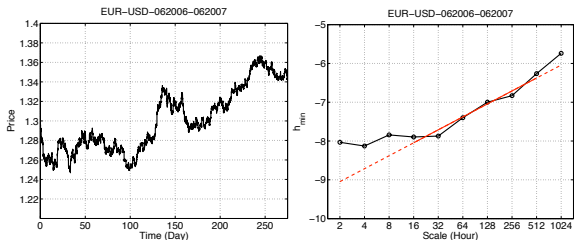
Regression log-log pour la détermination de  $H_f^{min}$



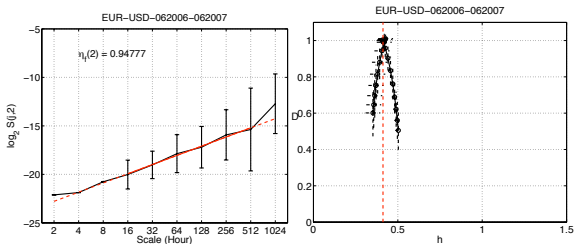
Détermination de  $\eta_f(2)$

Spectre de Legendre

# Taux de change USD-Euro : juin 2006-juin 2007



Regression log-log pour la détermination de  $H_f^{min}$



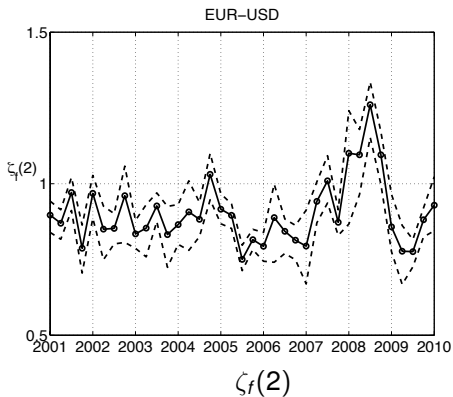
Détermination de  $\eta_f(2)$

Spectre de Legendre

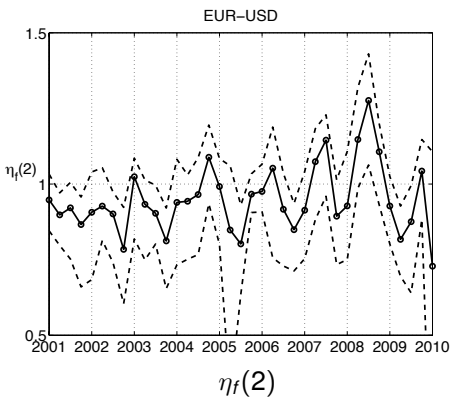


# Taux de change USD-Euro

Estimations sur une année avec décalages de 3 mois



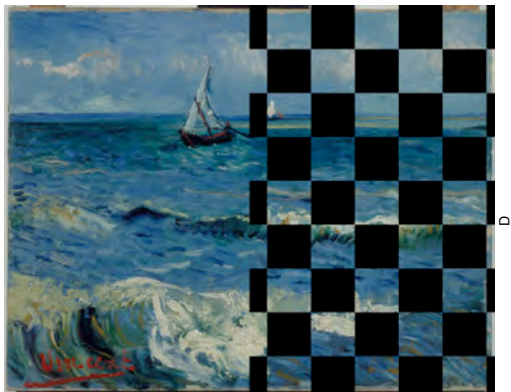
(fonction d'échelle ondelette)



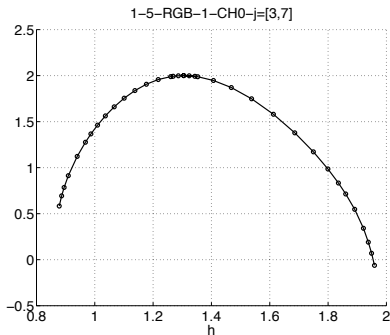
(fonction d'échelle dominante)

# Analyse Multifractale de peintures : Défi Van Gogh

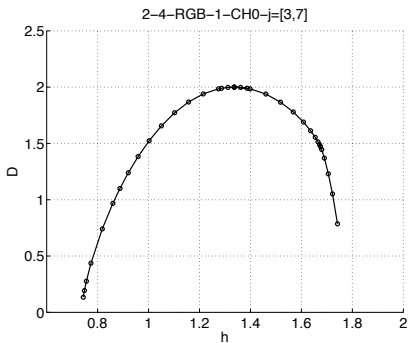
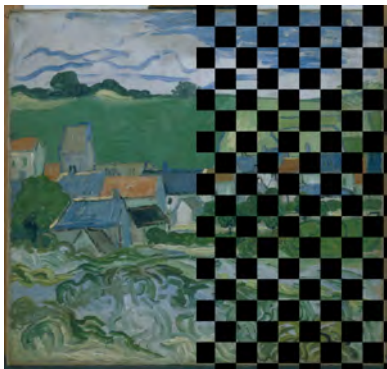
(en collaboration avec D. Rockmore)

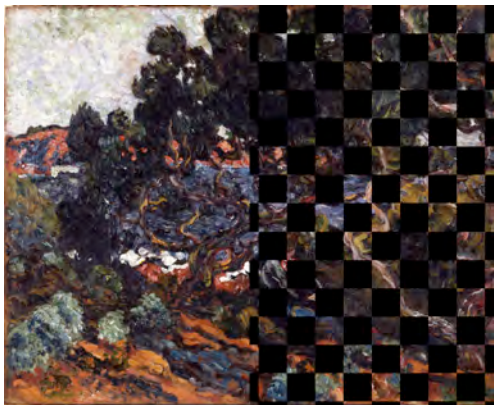


Van Gogh (f415) Arles -Saint Rémy

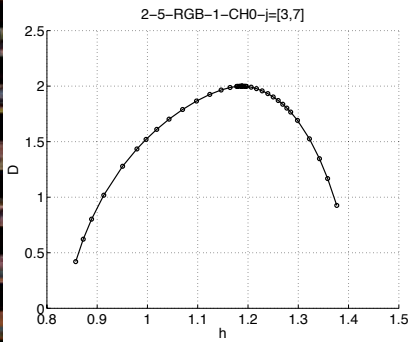


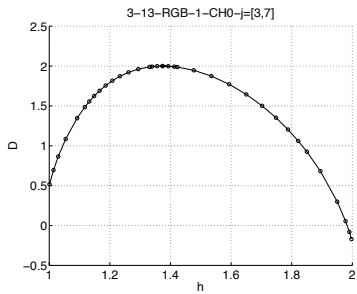
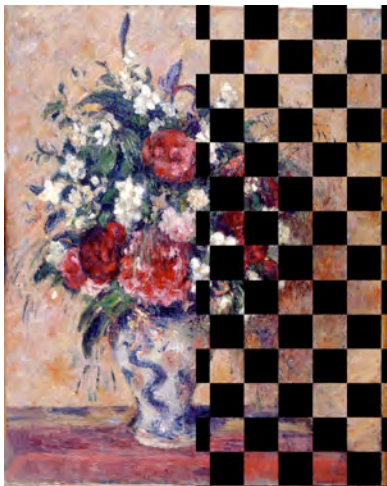
► Van Gogh





Inconnu





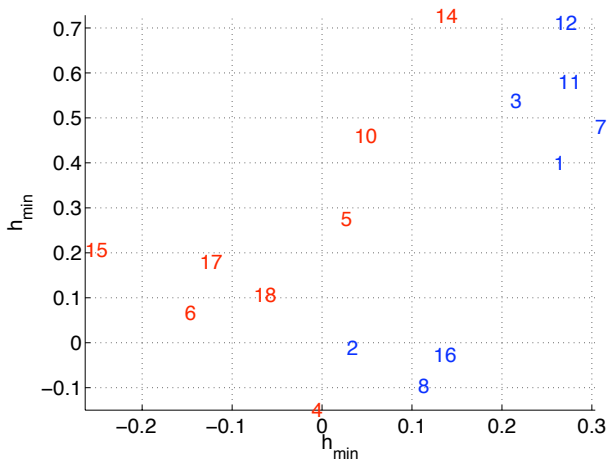
Inconnu

# Défi : date

Ŷ Période parisienne - Période Arles Saint Rémy - inconnue

Canaux : Rouge vs. Saturation

$h_{\min} - h_{\min}; j=[1,4]/[1,4] - \text{RGB } 0/1 - \text{CH } 2/1$

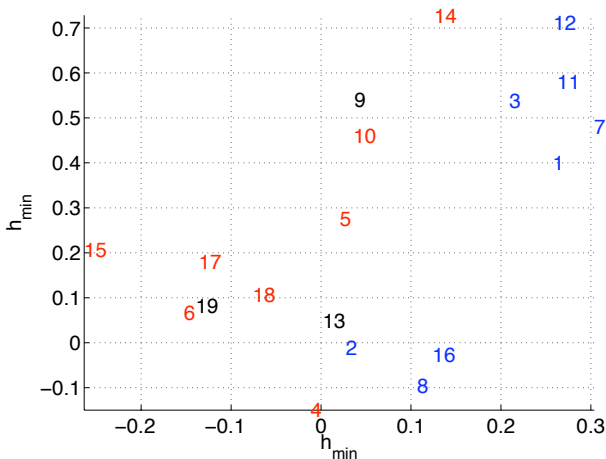


# Défi : date

Période parisienne - Période Arles Saint Rémy - inconnue

Canaux : Rouge vs. Saturation

$h_{\min} - h_{\min}; j=[1,4]/[1,4] - \text{RGB } 0/1 - \text{CH } 2/1$

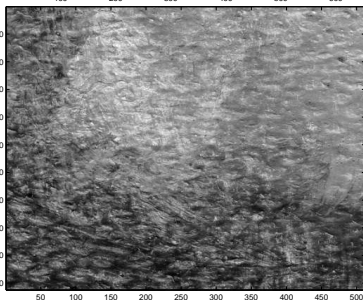
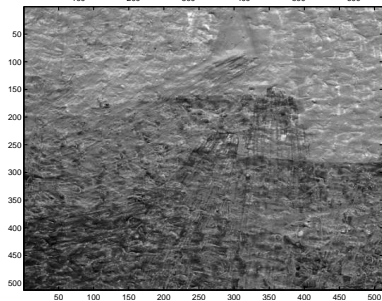
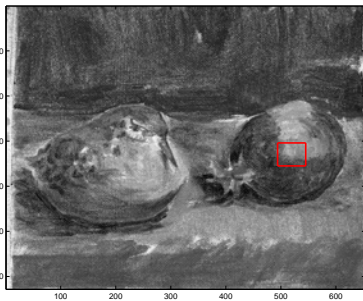


# Peinture originale et copie : Charlotte Caspers





# Peinture originale et copie : Charlotte Caspers



# Peinture originale et copie : Charlotte Caspers

